

11. Волчков В.П. и Петров Д.А. Оптимизация базиса Вейля-Гейзенберга для цифровых систем связи, использующих принцип OFDM/OQAM передачи. – "Научные Ведомости БелГУ", 2009, № 1 (56), вып. 9/1, с. 102-112.
12. Сюваткин В.С. и др. WiMAX – технология беспроводной связи: основы теории, стандарты, применение. СПб., БХВ-Петербург, 2005, с. 99-105.
13. Ahmad R.S. Bahai., Burton R. Salzberg. Multi-Carrier Digital Communication. Theory and Application of OFDM. New York, Kluwer Academic/Plenum Publishers, 2007.
15. Жиляков Е.Г. Вариационные метода анализа и построения функций по эмпирическим данным. Белгород, БелГУ, 2007.
14. Жиляков Е.Г., Белов С.П. и Урсол Д.В. Метод оптимальной передачи информации в режиме частотного уплотнения. – "Вопросы радиоэлектроники", сер. ЭВТ, 2010, вып. 1, с..146.

*Статья поступила 12.10.2010*

**Д.т.н., проф. Е.Г. Жиляков, Д.В. Урсол (Бел ГУ)**

**E.G. Zhilyakov, D.V. Ursol**

**КОМПЬЮТЕРНОЕ МОДЕЛИРОВАНИЕ ЦИФРОВОГО  
ФОРМИРОВАНИЯ И ОБРАБОТКИ КАНАЛЬНЫХ СИГНАЛОВ**

**COMPUTER SIMULATION OF THE DIGITAL FORMATION  
AND PROCESSING CHANNEL SIGNALS**

*В статье рассматривается метод формирования канальных сигналов с минимальным «просачиванием» энергии за пределы заданной частотной полосы (как альтернатива используемым в настоящее время, таким как GMSK и BPSK). Приведены результаты вычислительных экспериментов влияния сбоя синхронизации на ортогональность и автокорреляцию собственных векторов и вероятность неправильного восстановления информации при различных соотношениях шум/сигнал для различных методов передачи.*

*Keywords:* methods of data transmission, digital communications, mobile systems, frequency-division multiplexing, synchronization.

## ПРИКЛАДНЫЕ ПРОБЛЕМЫ ИНФОРМАЦИОННЫХ ТЕХНОЛОГИЙ

Формирование канальных сигналов с максимальной концентрацией энергии в заданной частотной полосе является одной из самых важных проблем передачи информации в режиме частотного уплотнения [1]. Известные в настоящее время методы формирования канальных сигналов в системах мобильной связи и радиодоступа не являются в этом смысле оптимальными, т.к. в их основе используется принцип обеспечения, прежде всего, определённого уровня верности передачи, в т.ч. обеспечения устойчивости к сбоям синхронизации.

В статье рассматривается формирование оптимального канального сигнала с минимальной долей энергии за пределами заданной полосы частот на основе собственных векторов субполосных матриц и проведение вычислительных экспериментов по проверке вероятности верного приема при сбоях синхронизации. Целью является описание результатов исследований определения вероятности ошибочного приема при различных сбоях синхронизации и уровнях белого шума в канале связи. В [2] показано, что вектор с минимальным уровнем просачивания энергии представляет собой сумму вида:

$$\vec{x} = Q_1 \cdot \vec{e} = (\vec{q}_1, \vec{q}_2, \dots, \vec{q}_J) \cdot \vec{e} = \sum_{i=1}^J e_i \vec{q}_i. \quad (1)$$

где:  $\vec{e} = (e_1, \dots, e_J)^T$  информационный вектор размерностью  $J$ , компоненты которого состоят из биполярных бит, которые подлежат передаче по каналу связи;

$\vec{q}_i$  - собственные векторы так называемых субполосных матриц для выделенной частотной полосы, соответствующие собственные числа которых близки или равны единице.

Свойство ортогональности собственных векторов позволяет записать равенство:

$$Q^T \cdot Q = 1,$$

где матрица  $Q_1 = \{\vec{q}_1, \vec{q}_2, \dots, \vec{q}_J\}$  имеет размерность  $[N \times J]$ .

Поэтому восстановление передаваемой информации может быть осуществлено на основе операции:

$$\vec{e} = Q^T \cdot \vec{x} = Q^T \cdot Q \cdot \vec{e} = 1 \cdot \vec{e}, \quad (2)$$

В [3] исследовано влияние помех на результаты восстановления согласно (2), когда обработке подвергается вектор:

$$\hat{\bar{x}} = \bar{x} + \bar{\varepsilon}$$

где  $\bar{\varepsilon}$  - вектор помех в канале связи, а решающая процедура отнесения символа  $e_i$  к 1 или к 0, на основе скалярных произведений  $\bar{z}_i = (\hat{\bar{x}}, \hat{\bar{q}}_i) = \sum_{k=1}^N \hat{x}_k q_{ki}$ , имеет вид  $e_i = 1$ , при  $z_i > 0$ , и наоборот  $e_i = -1$ , при  $z_i < 0$ .

Для исследования влияния сбоя синхронизации на вероятность правильного приема информации использовались вычислительные эксперименты проведенные с помощью математического пакета MatLab.

Задаются входные параметры, такие как длительность сигнала, длительность одного бита информации, ширина полосы частот, передаваемая битовая последовательность, длина битовой последовательности, уровень белого шума в канале связи. Задается произвольная последовательность из 8 бит и длительностью одного бита  $\tau_0$  (по стандарту GSM  $\tau_0 = 3,36 \cdot 10^{-4}$  с), формируются канальные сигналы на основе собственных векторов и двоичной фазовой манипуляции. Сбой синхронизации осуществляется путем смещения всего канального сигнала вправо (одно смещение составляет  $1/20$  бита или  $\Delta = 1,845 \cdot 10^{-7}$  с), при этом последние отчеты теряются. При сдвиге вправо моделируется ситуация, когда приемник начинает прием раньше. Проводится 1000 экспериментов и вычисляется средняя вероятность неверного приема информации на каждое значение уровня шума и смещение сигнала.

Исследование влияния сбоев синхронизации при передаче оптимальным методом состоит из трех этапов: проверка влияния сбоев синхронизации на автокорреляционную функцию собственных векторов; проверка влияния сбоев синхронизации на ортогональность собственных векторов; сравнение вероятностей возникновения ошибок при передаче оптимальным методом и двоичной фазовой манипуляции при различных сдвигах у уровнях белого шума в канале связи.

На рис. 1 представлена автокорреляционная функция первого и пятого собственного вектора. Из рисунка видно, что при сдвиге собственного вектора на  $1\Delta$  значение автокорреляционной функции равно нулю у всех собственных векторов, а при сдвиге на  $4\Delta$  значения функции равны единице, что говорит об ортогональности. Корреляционная функция имеет убывающий характер, поскольку при

## ПРИКЛАДНЫЕ ПРОБЛЕМЫ ИНФОРМАЦИОННЫХ ТЕХНОЛОГИЙ

смещении последние значения теряются, а на места первых значений помещаются нули. Таким образом при сдвиге всего вектора на длину этого вектора значение функции будет равно нулю.

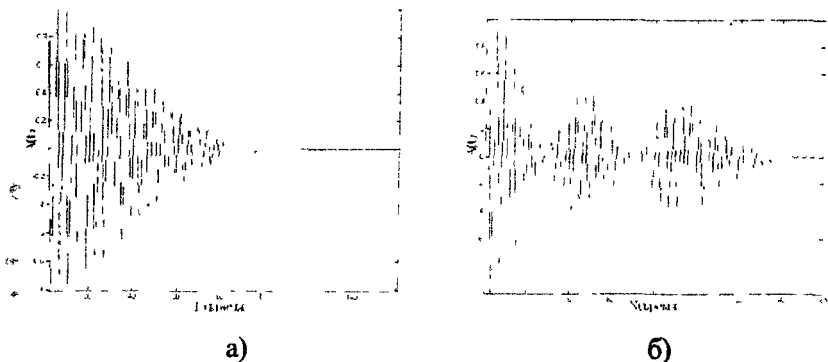


Рис. 1

Автокорреляционная функция собственных векторов  
а) первый собственный вектор; б) пятый собственный вектор

Вероятность правильно приема информации при оптимальном формировании канального сигнала зависит от сохранения ортогональности. Поэтому во втором этапе проводились вычисления матриц скалярных произведений собственных векторов при различных сдвигах. В табл. 1 и 2 представлены результаты вычислений матриц скалярных произведений собственных векторов при одном и двух сдвигах по времени для определения ортогональности этих векторов.

Таблица 1

Матрица скалярных произведений собственных векторов при одном сдвиге

	$\bar{q}_1$	$\bar{q}_2$	$\bar{q}_3$	$\bar{q}_4$	$\bar{q}_5$	$\bar{q}_6$	$\bar{q}_7$	$\bar{q}_8$
$\bar{q}_1$	0	-1	0	0	0	0	0	0
$\bar{q}_2$	1	0	0	0	0	0	0	0
$\bar{q}_3$	0	0	0	1	0	0	0	0
$\bar{q}_4$	0	0	-1	0	0	0	0	0
$\bar{q}_5$	0	0	0	0	0	-1	0	0
$\bar{q}_6$	0	0	0	0	1	0	0	0
$\bar{q}_7$	0	0	0	0	0	0	0	1
$\bar{q}_8$	0	0	0	0	0	0	-1	0

Таблица 2

Матрица скалярных произведений  
собственных векторов при сдвиге  $2 \cdot \Delta$

	$\vec{q}_1$	$\vec{q}_2$	$\vec{q}_3$	$\vec{q}_4$	$\vec{q}_5$	$\vec{q}_6$	$\vec{q}_7$	$\vec{q}_8$
$\vec{q}_1$	-1	0	0	0	0	0	0	0
$\vec{q}_2$	0	-1	0	0	0	0	0	0
$\vec{q}_3$	0	0	-1	0	0	0	0	0
$\vec{q}_4$	0	0	0	-1	0	0	0	0
$\vec{q}_5$	0	0	0	0	-1	0	0	0
$\vec{q}_6$	0	0	0	0	0	-1	0	0
$\vec{q}_7$	0	0	0	0	0	0	-1	0
$\vec{q}_8$	0	0	0	0	0	0	0	-1

Поскольку собственные вектора попарно взаимосвязаны то из табл. 1 видно, что при значении автокорреляционной функции, равной единице, воздействие на парный вектор максимально, при этом воздействие может быть и обратным. Тем самым при восстановлении информации второй вектор вносит ошибку в первый бит, который передавался с помощью первого вектора, а первый вектор восстанавливает второй бит без искажений, поскольку скалярное произведение первого вектора на второе равно единице. Это приводит к тому, что половина переданных бит определяются как верно принятые, поэтому вероятность верного обнаружения составляет 0,5, при сдвигах равных  $1\Delta$  и  $3\Delta$ , что доказывают результаты экспериментов, приведенных в табл. 3, автокорреляционная функция в этих значениях близка к нулю.

Из табл. 2 видно, что вектора ортогональны, но противоположны и отличаются друг от друга на 180 градусов, что при восстановлении информации приводит к эффекту «обратной работы», все элементы передаваемой информации на приемной стороне принимаются как противоположные.

Важно заметить, что ортогональность при малых сдвигах максимальна и с каждым сдвигом уменьшается, что сказывается на помехоустойчивости.

Для сравнительных исследований была выбрана BPSK ма-

Таблица 3  
Вероятность ошибочного приема ОМ при различном сдвиге

Шум/сигнал	2,51	1,99	1,58	1,25	1	0,8	0,63	0,50	0,40	0,31	0,25
Сдвиг $\Delta = 1,845 \cdot 10^{-7} c$											
0 · $\Delta$	0,00162	0,00038	0,0005	0,000125	0	0	0	0	0	0	0
1 · $\Delta$	0,499	0,50013	0,49975	0,5	0,5	0,5	0,5	0,5	0,5	0,5	0,5
2 · $\Delta$	0,997	0,99913	0,99938	0,99987	1	1	1	1	1	1	1
3 · $\Delta$	0,49888	0,49988	0,5	0,5	0,5	0,49988	0,5	0,5	0,5	0,5	0,5
4 · $\Delta$	0,0055	0,00288	0,0015	0,000375	0	0	0	0	0	0	0
5 · $\Delta$	0,5005	0,5005	0,50125	0,5005	0,5005	0,50062	0,50013	0,5	0,5	0,5	0,5
6 · $\Delta$	0,98638	0,9911	0,99587	0,99662	0,99862	0,99962	0,99975	0,99987	1	1	1
7 · $\Delta$	0,49962	0,5021	0,4965	0,494	0,49825	0,49838	0,49912	0,49925	0,499988	0,5	0,5
8 · $\Delta$	0,02925	0,02963	0,0205	0,01425	0,00825	0,006375	0,0025	0,00125	0,000125	0,00025	0
9 · $\Delta$	0,51063	0,52312	0,50825	0,50787	0,51375	0,50538	0,50638	0,50713	0,504	0,505	0,5025

Таблица 4  
Вероятность ошибочного приема ФМ при различном сдвиге

Шум/сигнал	2,51	1,99	1,58	1,25	1	0,8	0,63	0,50	0,40	0,31	0,25
Сдвиг											
$\Delta = 1,845 \cdot 10^{-7} c$											
$0 \cdot \Delta$	0,002625	0,000375	0,00025	0	0	0	0	0	0	0	0
$1 \cdot \Delta$	0,47113	0,471	0,49088	0,47537	0,47763	0,49762	0,48063	0,47225	0,44813	0,4665	0,48088
$2 \cdot \Delta$	0,99025	0,99475	0,99738	0,9995	0,99975	1	1	1	1	1	1
$3 \cdot \Delta$	0,48625	0,478	0,46225	0,49325	0,46837	0,55325	0,5195	0,53787	0,46337	0,51075	0,54325
$4 \cdot \Delta$	0,0325	0,021125	0,01225	0,00725	0,001875	0,000625	0,0005	0	0,000125	0	0
$5 \cdot \Delta$	0,47587	0,45787	0,44088	0,44462	0,46175	0,51863	0,47463	0,47888	0,439	0,4945	0,5035
$6 \cdot \Delta$	0,89287	0,92012	0,92637	0,955	0,97488	0,98388	0,9905	0,99513	0,99825	0,99962	1
$7 \cdot \Delta$	0,50125	0,47575	0,44412	0,48575	0,46537	0,539	0,5185	0,5065	0,44562	0,54588	0,54138
$8 \cdot \Delta$	0,21675	0,20088	0,17525	0,15637	0,13588	0,11737	0,09375	0,07375	0,05575	0,040875	0,028375
$9 \cdot \Delta$	0,4945	0,45363	0,441	0,44675	0,45088	0,523	0,46537	0,47513	0,43312	0,46887	0,47763

## ПРИКЛАДНЫЕ ПРОБЛЕМЫ ИНФОРМАЦИОННЫХ ТЕХНОЛОГИЙ

манипуляция как наиболее помехоустойчивая при воздействии белого шума (BPSK - Binary Phase-Shift Keying - Двоичная фазовая манипуляция со скачкообразным переключением фазы синусоидального сигнала на  $180^\circ$  при неизменной амплитуде, при этом фазе  $0^\circ$  становится в соответствие логический нуль, а  $180^\circ$  логическая единица.

В табл. 3 и 4 представлены результаты вычислительных экспериментов по определению вероятности ошибочного приема оптимального метода передачи и BPSK при различном сдвиге. На каждое значение уровня шума и сдвига проводилось 1000 экспериментов.

Из таблицы 3 видно, что, при сдвигах равных  $2\Delta$  и  $6\Delta$  наблюдаются эффекты «обратной работы» поскольку вектора полностью противоположны друг другу по фазе, т.е. фаза отличается на  $180$  градусов и, тем самым, при восстановлении определяется противоположный переданному бит. При этом собственные векторы субполосной матрицы остаются ортогональны. Поэтому при таких сдвигах вероятность ошибочного приема максимальна и равна единице.

Сравнивая результаты вычислительных экспериментов двух методов передачи по помехоустойчивости (табл. 3 и 4) видим, что при сдвиге, равном  $8\Delta$  (когда вектора ортогональны) и при отношении шум/сигнал равном 1 вероятность неверного приема у оптимального метода составляет 0,00825, а у двоичной фазовой манипуляции 0,13588. При сдвиге  $4\Delta$  вероятность ошибочного приема у оптимального метода передачи 0, а у двоичной фазовой манипуляции 0,001875. Таким образом устойчивость к помехам у оптимального метода при сбоях синхронизации сохраняется выше, чем у двоичной фазовой манипуляции.

### **Литература**

1. Кузнецов М.А. и др. GPRS – технология пакетной передачи данных в сетях GSM. Спб., Судостроение, 2002. 144 с.
2. Жиляков Е..Г. Вариационные методы анализа и построения функций по эмпирическим данным. Белгород, БелГУ, 2007. 160 с.
3. Жиляков Е.Г., Белов С.П. и Урсол Д.В. Оптимальные канальные сигналы при цифровой передаче с частотным уплотнением. – "Научные ведомости БелГУ", сер. Информатика, 2009, № 7(62), вып. 10/1, с.166 – 172.

4. Жиляков Е.Г., Белов С.П. и Урсол Д.В. Метод оптимальной передачи информации в режиме частотного уплотнения. – "Вопросы радиоэлектроники", сер. ЭВТ, 2010, вып. 1, с.146-155.

*Статья поступила 12.10.2010*

**Д.т.н., проф. Н.И. Корсунов, к.т.н. В.В. Муромцев (Бел ГУ)**

**N.I. Korsunov, V.V. Muromtsev**

**ПРОГРАММНОЕ ОБЕСПЕЧЕНИЕ ДЛЯ РЕАЛИЗАЦИИ  
АЛГОРИТМОВ ЦИФРОВОЙ ОБРАБОТКИ СИГНАЛОВ  
НА БАЗЕ ОЦЕНОЧНОГО КОМПЛЕКТА ADSP-21262 EZ-KIT LITE**

**SOFTWARE FOR IMPLEMENTATION DIGITAL SIGNAL  
PROCESSING ALGORITHMS BASED EVALUATION  
KIT ADSP-21262 EZ-KIT LITE**

*Рассмотрены особенности программного обеспечения, разработанного для упрощения исследования и реализации алгоритмов цифровой обработки звуковых сигналов на базе оценочного комплекта ADSP-21262 EZ-KIT Lite, включающего цифровой сигнальный процессор ADSP-21262 SHARC. Программное обеспечение разработано в среде VisualDSP ++ и LabVIEW*

*Key words:* Digital signal processing, Digital signal processor, ADSP-21262 EZ-KIT Lite, ADSP-21262 SHARC, VisualDSP ++, LabVIEW

**Введение**

Для аппаратной реализации алгоритмов цифровой обработки сигналов (ЦОС) широко используются цифровые сигнальные процессоры (ЦСП). При создании устройств, осуществляющих ЦОС, разработчики часто используют оценочные комплексы, которые включают оценочную плату с целевым ЦСП, необходимые отладочные средства и программное обеспечение (ПО). В ряде случаев использование оценочных комплексов позволяет создать прототип устройства без каких-либо доработок оценочных плат. Но, несмотря на это, процессы аппаратной реализации алгоритмов ЦОС и, особенно, процессы их исследования и модификации могут затягиваться на длительный срок. Часто это связано с тем, что отладочные